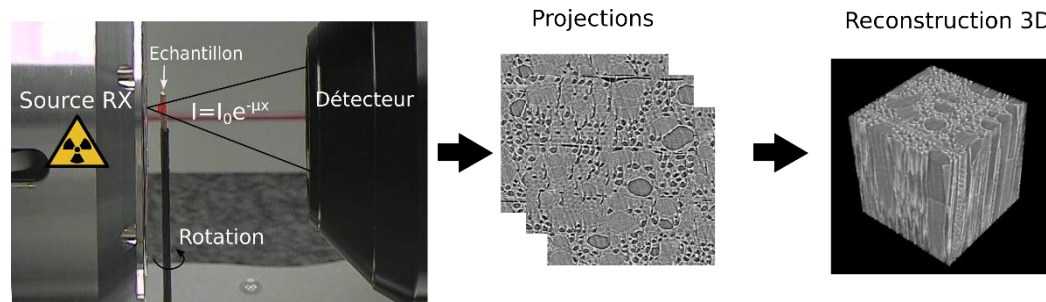


Neutralisation du mouillage observée par Microtomographie aux Rayons X

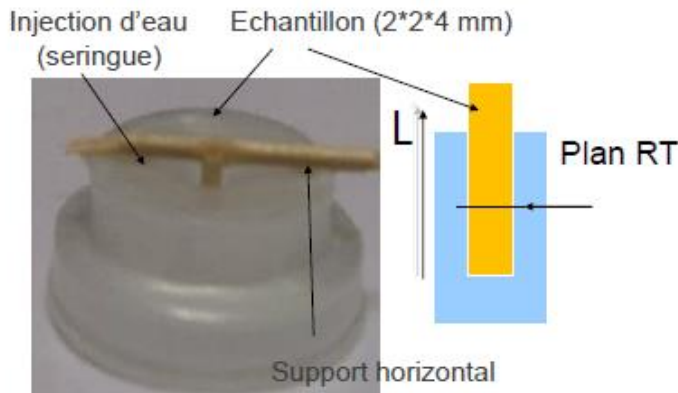
ZHOU Meng, CARE Sabine, AIMEDIEU Patrick, BONNET Marie, BORNERT Michel, KING Andrew, COUSSOT Philippe

- **Tomographie aux rayons X** : Imagerie non destructive, reconstruction 3D en coupe

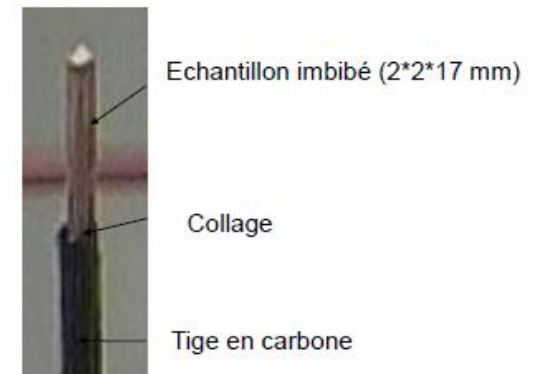


- **Essais d'imbibition *in situ*** : résolution jusqu'à 1,3 μm

Synchrotron SOLEIL

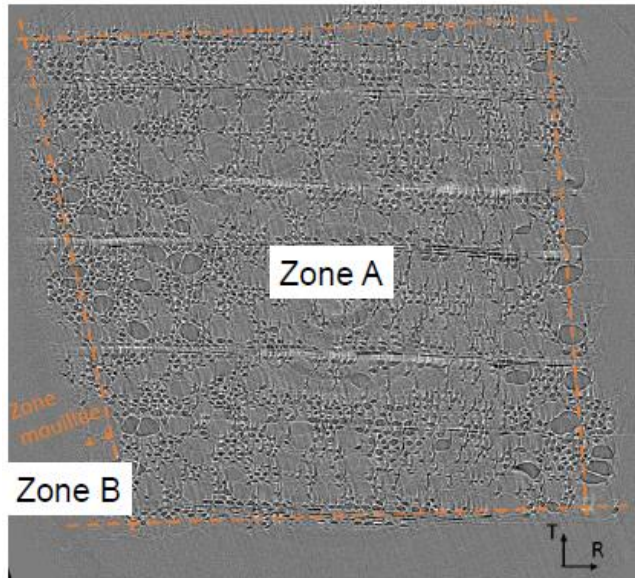


TomoX du Laboratoire Navier

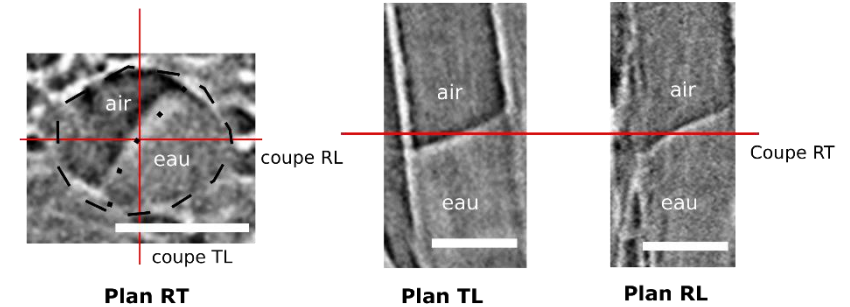


Observation de différentes conditions de mouillage dans différentes zones

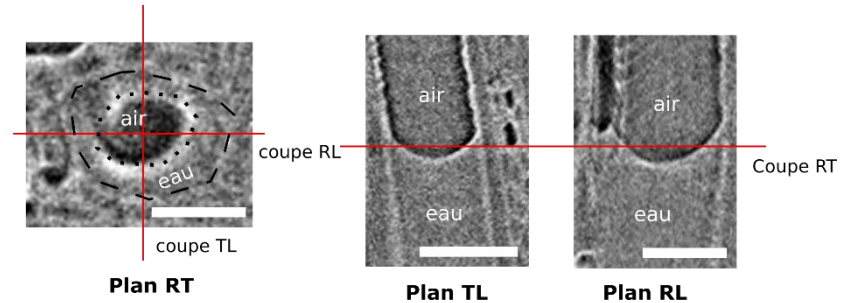
- **Zone A**: au centre de l'échantillon, **pénétration unidirectionnelle**
- **Zone B**: les 4 bords latéraux, **humidité locale très élevée**



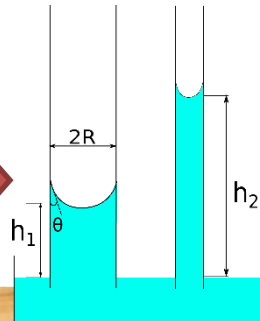
Zone A



Zone B



Interfaces planes
Angle de contact = 90°



$$P_c = \frac{2\sigma \cos \theta}{R} \sim 0 \text{ (Loi de Laplace)}$$